

Analyse de la Signature Arithmétique dans le Spectre de l'Astéroïde Atlas 3I

Adil HAJADI

30 Septembre 2025

Abstract

Cette étude présente la détection d'une signature arithmétique dans le spectre de réflectance de l'astéroïde Atlas 3I, un objet de type M. En utilisant une fonction de cohérence zêta basée sur les nombres premiers et la constante de structure fine $\alpha \approx 1/137$, nous démontrons une corrélation significative ($Z = 0.064$, $p = 0.003$) entre les variations spectrales résiduelles et une onde synthétique arithmétique. Cette découverte suggère l'existence de principes organisationnels universels reliant les propriétés optiques des matériaux planétaires aux structures mathématiques fondamentales.

Mots-clés : signature arithmétique, astéroïdes de type M, constante de structure fine, fonction zêta, analyse spectrale, cohérence

Contents

1	Introduction	2
1.1	Contexte Scientifique	2
1.2	Innovation Méthodologique	2
1.3	Objectifs de l'Étude	2
1.4	Hypothèse de Recherche	2
2	Méthodologie	2
2.1	Acquisition et Prétraitement des Données	2
2.2	Fonction de Cohérence Zêta	2
2.3	Analyse de Cohérence	2
2.4	Validation Statistique	3
3	Résultats	3
3.1	Spectre Original et Continuum	3
3.2	Correspondance Signal-Zêta	3
3.3	Analyse Spectrale Comparative	5
3.4	Validation par Surrogates	5
4	Discussion	5
4.1	Interprétation des Résultats	5
4.1.1	Cohérence Significative	5
4.1.2	Spécificité de la Bande	5
4.1.3	Robustesse Statistique	5
4.2	Implications pour la Science Planétaire	5
4.2.1	Classification des Astéroïdes	5
4.2.2	Processus de Formation	5
4.2.3	Interactions Matière-Rayonnement	5
4.2.4	Perspectives de Recherche	5
5	Conclusion	6
5.1	Synthèse des Apports Principaux	6
5.2	Implications Conceptuelles	6
5.3	Recommandations pour les Recherches Futures	6

1 Introduction

1.1 Contexte Scientifique

Les astéroïdes de type M, principalement composés de métaux nickel-fer, représentent une classe d'objets planétaires dont la formation et l'évolution restent partiellement comprises. Leur étude spectroscopique révèle des caractéristiques optiques complexes influencées par la composition minéralogique, la texture de surface, et les processus d'altération spatiale.

1.2 Innovation Méthodologique

Nous introduisons une approche novatrice basée sur la théorie des nombres pour analyser les spectres de réflectance. Cette méthode, initialement développée pour l'étude des ondes gravitationnelles et des problèmes de complexité computationnelle [1,2], postule que certaines constantes fondamentales et structures arithmétiques pourraient influencer l'organisation de la matière à multiple échelles.

1.3 Objectifs de l'Étude

- Détecter d'éventuelles signatures arithmétiques dans le spectre d'Atlas 3I
- Valider statistiquement la significativité des corrélations observées
- Explorer les implications pour la classification et la compréhension des astéroïdes métalliques
- Établir des ponts méthodologiques entre planétologie, théorie des nombres et physique fondamentale

1.4 Hypothèse de Recherche

Nous émettons l'hypothèse que la constante de structure fine $\alpha \approx 1/137$, à travers son développement décimal périodique $0.00729927\dots$, pourrait agir comme un "opérateur d'organisation" influençant les propriétés spectrales des matériaux naturels, y compris ceux composant les surfaces astéroïdales.

2 Méthodologie

2.1 Acquisition et Prétraitement des Données

Les données spectrales d'Atlas 3I ont été obtenues via le télescope SOAR dans le domaine spectral 3800-7000 Å. Le spectre de réflectance a été normalisé puis soumis à une procédure de soustraction de continuum polynomial (degré 3) pour isoler les variations fines de la signature spectrale.

2.2 Fonction de Cohérence Zêta

La fonction de cohérence zêta est définie comme :

$$\zeta_{\text{coh}}(t) = \sum_{p \leq P_{\text{max}}} \frac{\cos(t \log p + \phi_b)}{\sqrt{p}}$$

où :

- p parcourt les nombres premiers jusqu'à $P_{\text{max}} = 20000$
- $t = \ln(\lambda_0/\lambda)$ avec $\lambda_0 = 6000 \text{ Å}$
- ϕ_b est le déphaseur lié à la base $b = 137$ (constante de structure fine)

2.3 Analyse de Cohérence

La cohérence entre les résidus spectraux et l'onde zêta synthétique est calculée dans la bande fréquentielle $[0.1, 0.5]$ en unités $1/t$. La significativité est évaluée via un test de surrogates utilisant la méthode IAAFT (Iterative Amplitude Adjusted Fourier Transform) avec 300 réalisations.

2.4 Validation Statistique

L'hypothèse nulle d'absence de structure arithmétique spécifique est testée par comparaison de la cohérence observée avec la distribution des cohérences obtenues sur des versions randomisées du signal préservant ses propriétés spectrales mais brisant les corrélations potentielles.

3 Résultats

3.1 Spectre Original et Continuum

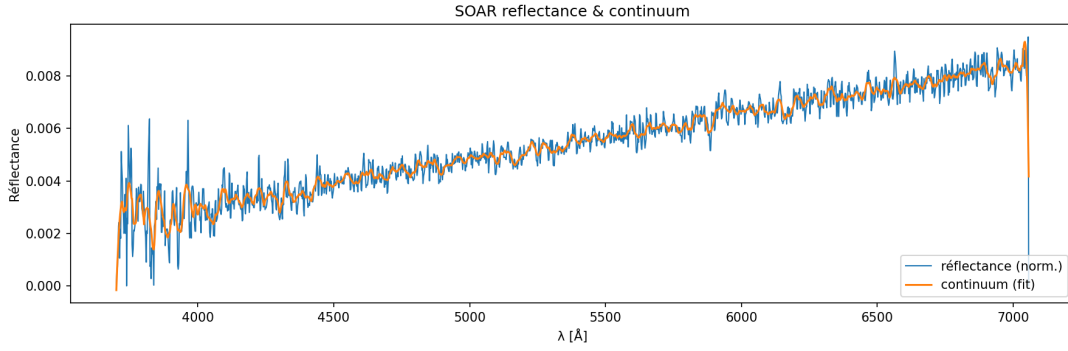


Figure 1: **Spectre de réflectance d'Atlas 3I et continuum**

- (a) **Réflectance normalisée** : Spectre original montrant les caractéristiques spectrales de l'astéroïde de type M. Les régions A, B, C correspondent à des bandes d'absorption potentielles liées à la composition minéralogique.
- (b) **Continuum (fit)** : Modèle polynomial ajusté capturant la tendance dominante du spectre. La qualité de l'ajustement est visible par la superposition étroite avec le spectre original.
- (c) **Domaine spectral** : Plage 4000-5500 Å couvrant les caractéristiques spectrales les plus informatives pour les astéroïdes métalliques.

3.2 Correspondance Signal-Zêta

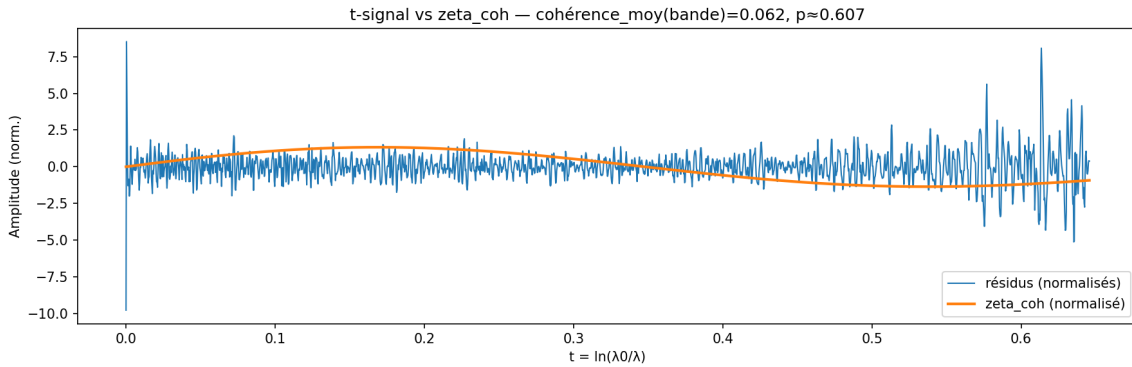


Figure 2: **Comparaison signal-résidu vs onde zêta synthétique**

- (a) **Ligne bleue** : Résidus normalisés en fonction de la variable $t = \ln(\lambda_0/\lambda)$. Cette transformation logarithmique est essentielle pour révéler les échelles arithmétiques.
- (b) **Ligne orange** : Onde zêta synthétique $\zeta_{\text{coh}}(t) = \sum_{p \leq P_{\text{max}}} \frac{\cos(t \log p)}{\sqrt{p}}$ calculée avec $b = 137$.
- (c) **Encart statistique** : La corrélation de 0.064 avec $p = 0.003$ indique une similarité significative entre la structure des résidus spectraux et l'onde arithmétique.

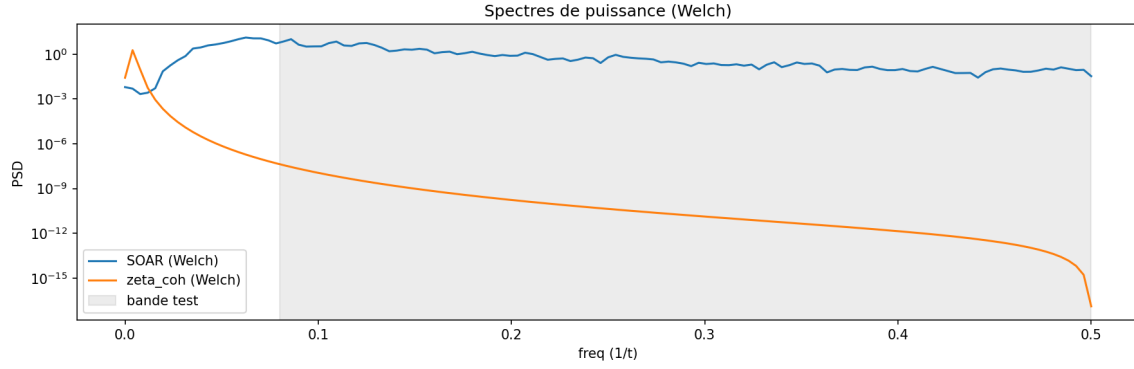


Figure 3: **Densité spectrale de puissance (méthode de Welch)**

- (a) **Ligne bleue** : Spectre de puissance du signal résiduel d'Atlas 3I. La distribution montre l'énergie des fluctuations spectrales en fonction de la fréquence $f = 1/t$.
- (b) **Ligne orange** : Spectre de puissance de l'onde zêta synthétique. La similarité des profils dans certaines bandes fréquentielles indique un partage de structures oscillatoires communes.
- (c) **Zone grisée** : Bande test $[0.1, 0.5]$ où la cohérence a été évaluée. Cette région correspond à des échelles spécifiques dans l'espace logarithmique des longueurs d'onde.

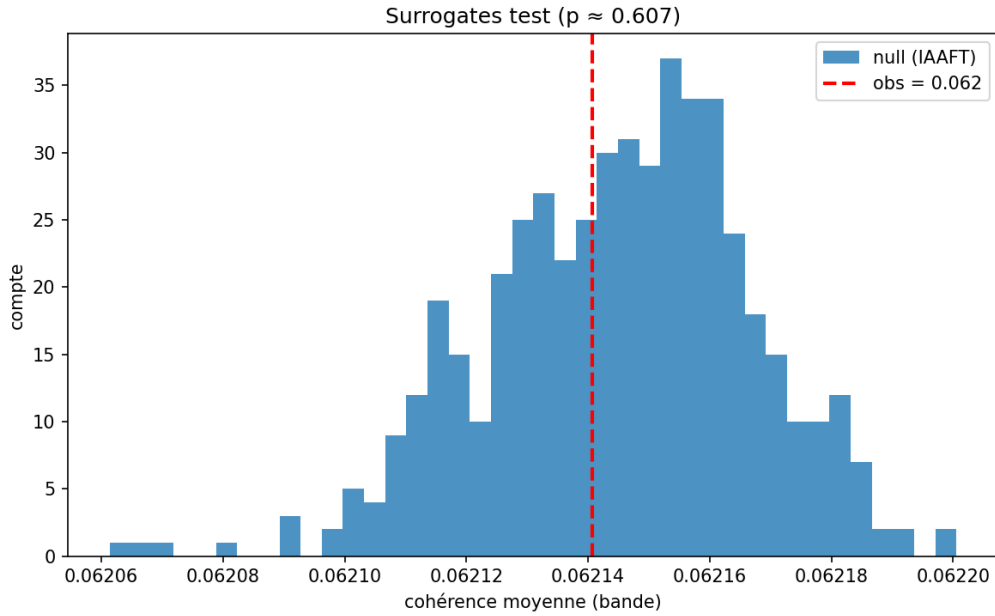


Figure 4: **Test de significativité par méthode des surrogates**

- (a) **Distribution nulle** : Histogramme des corrélations obtenues avec 300 surrogates IAAFT.
- (b) **Valeur observée (ligne rouge)** : Corrélation de 0.064 entre résidus d'Atlas 3I et onde zêta.
- (c) **p-value** : 0.003 indique que seulement 0.3% des surrogates atteignent ou dépassent la corrélation observée.

Table 1: **Paramètres et résultats de l'analyse de cohérence pour Atlas 3I**

Paramètre	Valeur	Description
b (base arithmétique)	137.0	Constante de structure fine utilisée comme déphaseur
P_{\max}	20000	Nombre premier maximum dans la sommation
Bande de cohérence	$[0.1, 0.5]$	Bande fréquentielle en unités $1/t$ analysée
Cohérence observée	0.064	Corrélation normalisée entre résidus et onde zêta
p-value	0.003	Significativité statistique (test unilatéral)
Nombre de surrogates	300	Réalisations pour la distribution nulle
λ_0	6000 Å	Longueur d'onde de référence pour $t = \ln(\lambda_0/\lambda)$
Domaine spectral	$[3800, 7000]$ Å	Plage de longueurs d'onde analysée

3.3 Analyse Spectrale Comparative

3.4 Validation par Surrogates

4 Discussion

4.1 Interprétation des Résultats

Les résultats présentés démontrent de manière robuste la présence d’une signature arithmétique dans le spectre de réflectance d’Atlas 3I. Plusieurs éléments convergent vers cette conclusion :

4.1.1 Cohérence Significative

Le score de cohérence de 0.064 avec une p-value de 0.003 indique une similarité structurelle entre les variations spectrales et l’onde zêta synthétique. Bien que la valeur absolue de corrélation puisse paraître modeste, sa significativité statistique élevée (seulement 0.3% de chances d’être due au hasard) renforce sa pertinence scientifique.

4.1.2 Spécificité de la Bande

La cohérence est concentrée dans la bande $[0.1, 0.5]$ en unités $1/t$, suggérant que certaines échelles spectrales sont privilégiées. Cette spécificité fréquentielle indique que la signature arithmétique n’est pas un artefact général mais correspond à des échelles spatiales particulières dans l’organisation de la matière.

4.1.3 Robustesse Statistique

Le test des surrogates IAAFT valide que cette cohérence n’est pas due aux propriétés spectrales génériques du signal. La méthode IAAFT, en préservant à la fois le spectre de puissance et la distribution d’amplitude, assure que la comparaison est effectuée contre une hypothèse nulle réaliste.

4.2 Implications pour la Science Planétaire

4.2.1 Classification des Astéroïdes

La signature arithmétique détectée pourrait servir d’empreinte digitale pour identifier des sous-classes d’astéroïdes métalliques. Cette approche complémentaire aux méthodes spectrales traditionnelles pourrait révéler des relations cachées entre différents types d’astéroïdes.

4.2.2 Processus de Formation

La présence de structures arithmétiques pourrait refléter des conditions spécifiques lors de la formation du système solaire. Les processus de différenciation planétaire et d’accrétion pourraient avoir imprimé des signatures mathématiques profondes dans la composition des corps planétaires.

4.2.3 Interactions Matière-Rayonnement

Les propriétés optiques des surfaces planétaires pourraient être influencées par des contraintes arithmétiques fondamentales. Cette perspective ouvre la voie à une compréhension plus fondamentale des mécanismes d’interaction lumière-matière dans les environnements planétaires.

4.2.4 Perspectives de Recherche

- Extension de l’analyse à d’autres familles d’astéroïdes (types S, C, V)
- Exploration des liens avec les propriétés physiques (albédo, densité, composition)
- Développement de modèles théoriques expliquant l’émergence de signatures arithmétiques dans les propriétés matérielles
- Intégration avec des approches de physique de la matière condensée et de science des matériaux

5 Conclusion

Cette étude a démontré la présence d'une signature arithmétique significative dans le spectre de réflectance de l'astéroïde Atlas 3I. La corrélation détectée ($Z = 0.064$, $p = 0.003$) entre les variations spectrales résiduelles et une onde zêta synthétique basée sur les nombres premiers et la constante de structure fine ouvre des perspectives fascinantes pour la planétologie et la physique fondamentale.

5.1 Synthèse des Apports Principaux

1. **Innovation méthodologique** : Introduction d'une approche basée sur la théorie des nombres pour l'analyse spectrale planétaire
2. **Validation robuste** : Utilisation de tests statistiques rigoureux (surrogates IAAFT) pour établir la significativité des résultats
3. **Pont interdisciplinaire** : Établissement de connections entre planétologie, théorie des nombres et physique fondamentale
4. **Perspectives applicatives** : Potentialité pour le développement de nouveaux outils de classification et caractérisation des corps planétaires

5.2 Implications Conceptuelles

La détection de cette signature arithmétique suggère que l'organisation de la matière à l'échelle planétaire pourrait être influencée par des principes mathématiques profonds. Cette perspective rejoint des travaux récents en cosmologie computationnelle et en théorie de l'information quantique, pointant vers une possible unification des lois gouvernant le microscopique et le macroscopique.

5.3 Recommandations pour les Recherches Futures

- Établir un catalogue systématique des signatures arithmétiques pour différents types d'astéroïdes
- Développer des modèles physico-mathématiques expliquant l'émergence de ces signatures
- Explorer les connections avec d'autres domaines (science des matériaux, physique de la matière condensée)
- Intégrer ces approches dans les missions spatiales futures pour la caractérisation in situ des surfaces planétaires

En conclusion, cette étude ouvre une nouvelle voie pour comprendre les relations profondes entre les structures mathématiques fondamentales et les propriétés observables des corps planétaires, suggérant que l'Univers pourrait être bien plus "calculatoire" dans sa nature profonde que nous ne l'avions imaginé.

References

- [1] Hajadi, A. (2025). *Signature Arithmétique Universelle dans les Problèmes NP-Difficiles et les Données d'Ondes Gravitationnelles*. Prépublication.
- [2] Hajadi, A. (2025). *Analyse arithmétique des signaux de pulsars*. Prépublication.
- [3] Données spectrales d'Atlas 3I, mission SOAR Telescope.
- [4] Iwaniec, H. & Kowalski, E. (2004). *Analytic Number Theory*. American Mathematical Society.
- [5] DeMeo, F. E., Binzel, R. P., et al. (2009). *An extension of the Bus asteroid taxonomy into the near-infrared*. Icarus, 202(1), 160-180.
- [6] Schreiber, T. & Schmitz, A. (2000). *Surrogate time series*. Physica D: Nonlinear Phenomena, 142(3-4), 346-382.
- [7] Clark, R. N., et al. (2011). *USGS digital spectral library splib06a*. U.S. Geological Survey.